

# 链霉菌原生质体种间融合——产抗生素的耐温型重组子的选育

齐海燕 郑幼霞

(中国科学院上海植物生理研究所, 上海)

以庆丰链霉菌 ( $SM^+$ ,  $42^\circ C$  不能生长, 产庆丰霉素, 可抑制细菌生长) 与吸水链霉菌 井冈变种 ( $SM^+$ ,  $42^\circ C$  生长良好, 产井冈霉素, 不抑制细菌生长) 为亲株, 在 $42\%$  PEG1000 诱导下进行原生质体融合, 在含  $SM$   $100\mu g/ml$ ,  $42^\circ C$  培养的再生平板上直接选择耐温型融合子, 融合率为 $10^{-5}$ — $10^{-4}$  左右, 经分离传代后可得到稳定的耐温型的单倍体重组子, 即可在  $42^\circ C$  生长, 并且有链霉素抗性和抑制细菌生长的活性。初步测定了四个重组子产生的抗菌物质的性质, 都与亲株产生的庆丰霉素、井冈霉素不同, 其中 F1-38、F1-16 和 FM3-32 三个重组子的抗生素在波长  $274nm$  处有一个紫外吸收小峰, 而重组子 F6-6 有二个活性部分, 其一在紫外线下呈荧光, 另一则具有酸碱指示剂特性。

**关键词** 原生质体融合; 链霉菌; 耐温型重组子

链霉菌原生质体融合技术是 1977 年 Hopwood 开始建立的<sup>[1]</sup>。由于此技术操作简便, 重组频率高, 所以是一种很有效的遗传育种手段。现在人们已经利用它来改良菌株, 提高抗生素产量<sup>[2-4]</sup>, 而且能打破种属间界限, 在种属间产生重组子<sup>[5-7]</sup>, 并有可能产生新的抗生素<sup>[8-10]</sup>。

在生产实际中, 一般链霉菌工业菌株的发酵温度较低 ( $28^\circ C$  左右), 温度升高则生长受阻, 产量大幅度下降; 所以人们往往希望能将生产菌株的发酵温度提高一些, 这样不仅能加快生长速度缩短发酵周期, 减少杂菌污染, 而且可以节约能源, 降低成本。但是生物的耐热性是很复杂的<sup>[11-12]</sup>, 人们至今不知道控制它的本质是什么, 而且也没有可以用诱变、转化或基因克隆等遗传手段, 使细菌的生活温度得以提高的确凿有力的证据。那么能否以现有生产菌株与耐温菌株作为亲本, 通过原生质体融合的方法, 来选育耐温型的重

组子? 我们认为原生质体融合是以二亲株细胞膜的融合为起点, 经细胞质的全完混合, 到基因组的交换重组, 所以在它的各种类型重组子中, 很有可能筛选出耐温型重组子, 从而组建具有耐高温性状的工业菌株。我们用生长适温  $28^\circ C$  的工业菌株庆丰链霉菌与生长适温  $42^\circ C$  的吸水链霉菌井冈变株进行原生质体融合, 以期获得较为耐温的, 并产生抗生素的重组子。

## 材料与方法

### (一) 菌株

庆丰链霉菌 (*Streptomyces qingfengmycetis*) M15S: 链霉素抗性 ( $SM^+$ ); 生长适温  $28^\circ C$ ,  $39^\circ C$  停止生长; 产庆丰霉素, 由本实验室保存。

吸水链霉菌 井冈变种 (*Streptomyces hygroscopicus var. jinggangensis*) \*75:

本文于 1988 年 12 月 18 日收到。

链霉素敏感( $SM^+$ )；生长适温 $42^\circ C$ ， $50^\circ C$ 停止生长；产井冈霉素，由上海市农药研究所赠送。

枯草杆菌(*Bacillus subtilis*)AS1.140：庆丰霉素生物效价测定用的指示菌。

其他指示菌：金黄色葡萄球菌(*S. aureus*)，八叠球菌(*S. lutea*)，大肠杆菌(*E. coli*)，白色念珠菌(*C. albicans*)，酵母(*S. sake*)，水稻纹枯病菌(*P. sasakii*)。

## (二) 培养基

斜面培养基和有机A液体培养基参考文献[13]；原生质体稳定液P参考文献[14]；再生培养基用斜面培养基补充蔗糖至 $0.3\text{ mol/L}$ ；抗生素发酵培养基参考文献[15]。

## (三) 原生质体的制备、再生和融合重组

方法参考文献[16]，经溶菌酶处理后得到的二亲株原生质体，用42%PEG1000(w/v)促融。

## (四) 重组子的检出

将经PEG处理后的融合物，取 $0.1\text{ ml}$ 涂于再生培养基平板上， $37^\circ C$ 过夜，然后在表面铺加含链霉素的再生培养基软琼脂(含琼脂0.5%) $5\text{ ml}$ ，使链霉素的最终浓度达 $100\mu\text{g/ml}$ ，凝固后置 $42^\circ C$ 培养14天左右，长出的菌落应为链霉素抗性、 $42^\circ C$ 生长的融合子。同时，将未经融合的二亲株原生质体分别置于同样条件下培养作为对照。

$$\text{融合频率} = \frac{\text{融合子数}}{\text{二亲株原生质体再生菌落数}}$$

## (五) 稳定的单倍体重组子的获得

将再生平板上长出的融合子菌落逐个挑在不含药的斜面培养基上， $42^\circ C$ 培养3天，孢子在生理盐水中分散成悬液，稀释法分离单菌，然后检验这些单菌的链霉素

抗性，抑制枯草杆菌AS1.140生长的活性和在高温 $42^\circ C$ 生长的能力。凡具有在 $42^\circ C$ 生长良好的能力并带有链霉素抗性或抑制枯草杆菌生长活性的单菌，并经数次传代保持不变者，即为稳定的单倍体重组子。

## (六) 重组子代谢产物的初步提纯

发酵液在硅胶G薄板上点样，层析展开后，以枯草杆菌AS1.140为指示菌进行生物显影，确定有生物活性的部位，然后在同时展层的薄板上括取相应位置的硅胶，加水抽提，离心去硅胶，再用 $0.45\mu\text{m}$ 微孔的纤维素酯滤膜过滤上清液以除去硅胶微粒，滤液减压浓缩，即为粗提样品。

## 结果与讨论

### (一) 原生质体种间融合

本实验的目的是希望将 $28^\circ C$ 发酵产生抗生素的链霉菌，与能在较高温度生长的链霉菌原生质体融合，在融合子中筛选耐温型重组子。我们选用庆丰霉素产生菌庆丰链霉菌M15S菌株( $SM^+$ )，发酵温度 $28^\circ C$ ， $39^\circ C$ 停止生长和吸水链霉菌井冈霉素75菌株( $SM^+$ )，发酵温度 $42^\circ C$ ， $50^\circ C$ 停止生长，作为亲株，以42%PEG1000诱导原生质体融合，融合液涂布在含SM的再生平板上，置 $42^\circ C$ 培养数天后，可见有菌落生长。这些菌落具有对SM的抗性和能在 $42^\circ C$ 生长的特性，它们是二亲株经融合后产生的种间融合子，融合频率在 $4.26 \times 10^{-6} - 2.04 \times 10^{-4}$ ，由于对照平板上没有菌落长出，因此在融合平板上出现的这些菌落，不是自发突变体，也不是原生质体制备-再生过程中导致的变异体，而确实是具有链霉素抗性和高温生长特性的融合子(表1)。测定了在 $42^\circ C$ 生长的10个融合子对枯草杆菌AS1.140生长的

抑制力，8个具有抑菌活力。

表 1 \*75和M15S的种间原生质体融合  
Table 1 Interspecific protoplast fusion of  
\*75×M15S

亲株原生质体总数 Total number of parent protoplast (ml <sup>-1</sup> )	融合子数 Number of fusants (ml <sup>-1</sup> )	融合频率 Fusion frequency
$2.5 \times 10^6$	$5.1 \times 10^2$	$2.04 \times 10^{-4}$
$9.4 \times 10^6$	$4.0 \times 10^2$	$4.26 \times 10^{-5}$

## (二) 融合子分离分析

Hopwood认为<sup>[17]</sup>，由于原生质体融合过程中多种方式的基因交换，使得再生平板上长出的单一菌落的孢子群间并非遗传均一，常包含不同的基因型；此外，再生平板上长出的菌落也常混有异核体，传代后则分离为两亲株的基因型。因此，对

再生平板上长出的融合子需经单菌分离、分析后，才能得到稳定的单倍体重组子。

1. 融合子子代高温生长的能力：将上述10个融合子挑入斜面在42℃培养，然后分离单菌，42℃继续培养。结果表明，所有单菌生长良好，一般只需3天左右就长得孢子丰满，这些单菌经影印法连续传代5次以后，仍能在42℃良好生长；并且经28℃培养传代数次后，还能在42℃良好生长。这说明这些单菌在42℃生长的特性是非常稳定的。检测了一些单菌的生长上限温度，发现大部分与\*75亲株相似，在50℃左右就停止生长，但个别单菌的上限温度甚至超过了\*75亲株，如F1-38在53℃停止生长，F6-6在63℃方才停止生长，57℃时仍生长旺盛（表2）。

表 2 亲株和一些重组子的最高生长温度  
Table 2 The maximum growth temperature of the two parents and some recombinants

菌株 Strains	*75	M15S	F1-16	F1-38	F4-6	F5-24	F6-6	FM2-4	FM3-32
最高生长温度 The maximum growth temperature (℃)	50	39	50	53	47	50	63	50	50

2. 融合子子代的抑菌活性：将前述融合子分成的单菌，每个融合子挑取一定数量的菌落接种在琼脂块上，分别在28℃、37℃和42℃培养后，测定它们的抑菌活性，结果见表3，说明融合子子代抑制细菌的能力也发生了分离现象，如融合子1在28℃只有82.5%的单菌有抑菌活力，并且随着温度的上升，有抑菌活力的单菌减少了。但对一个单菌来说，有的单菌在28℃有抑菌活力，到42℃就丧失了；有的单菌则相反，只在42℃培养才有抑菌活力，28℃培养的反而没有；也有的单菌无论是在28℃还是在42℃培养，都具有抑菌活力。这表明在融合过程中基因重组的多样性。测定了一些单菌抑细菌能力的稳定性，有

些单菌如F8-25等几次传代后，就失去抑菌活性，很不稳定；有些菌株如F1-16、F1-38、FM3-32和F6-6等，经多次传代抑菌能力仍很稳定。

3. 融合子链霉素抗性的分离：将融合子的单菌用影印法测定它们对链霉素的抗性，结果列于表4，表明融合子的孢子群中发生了链霉素抗性的分离。有的融合子子代仍有抗性，如融合子1等，但抗性水平却有不同的变化，可能是由于基因组的交换和重组影响了抗性基因的表达水平；有的融合子经分离后全部或部分子代失去了对链霉素的抗性，前者如融合子7，说明它只不过是个异核体，传代分离成两亲株型；后者如融合子6等，推测它们可能

表 3 融合子抑制 AS1.140 活性的分离  
Table 3 Segregation of anti-AS1.140 activity of fusants

Fusants	单菌中抑制AS1.140的比例 Proportion of anti-AS1.140 in single colonies (%)		
	28°C	37°C	42°C
1	82.5	50.0	50.0
3	36.4	NT	27.3
4	31.7	NT	22.2
5	31.3	17.8	10.9
6	40.0	39.7	36.7
8	59.9	49.1	48.4
M1	3.3	0	0
M2	66.7	30.3	20.0
M3	83.5	NT	60.0

NT: 未试验 Not test

表 4 融合子链霉素抗性的分离  
Table 4 Segregation of streptomycin resistance of fusants

Fusants (cultured at 42°C)	单菌落抗链霉素不同水平的比例 Proportion of SM <sup>r</sup> level in single colonies (%)				
	0μg/ml	15μg/ml	25μg/ml	40μg/ml	100μg/ml
1	100	100	82	80	2
3	100	100	NT	NT	2
4	100	100	100	25	0
5	100	6.2	2.7	1.7	0
6	100	35	5	0	0
7	100	0	0	0	0
8	100	35	6	0	0
M1	100	45	4.5	3	0
M2	100	100	87	30	5
M3	100	5	0	0	0
 亲株 Parents					
*75	100	0	0	0	0
M16S <sup>a</sup>	100	100	100	100	100

NT 未试验 Not test

a. 37°C 培养 Cultured at 37°C

将 4 个具有抑菌活性的耐温型重组子 F1-16、F1-38、FM3-32 和 F6-6 接种于庆丰霉素发酵培养基中，37°C 摆瓶发酵，发酵液用适用于庆丰霉素和井冈霉素提取的强酸型离子交换树脂 732 或 Dowex-50 进行

是一种不稳定的局部杂合二倍体或局部结合子 (merozygote)，在单倍化过程中发生了部分交换。对一些抗性菌落，经过 15 次传代仍表现为抗性稳定。

这样，我们通过原生质体种间融合，得到了稳定的，可在高温生长的，并具有抗菌能力的种间重组子。这些种间重组子，如 F1-16 F1-38 等菌株，无论是在 28°C、37°C 或 42°C 生长都产生抑菌物质，FM3-27 则只在 42°C 培养时才具有抑菌活性。

### (三) 几个耐温型重组子抗生素的性质

交换，结果都不成功。这说明重组子产生的抗生素有某些不同于亲株的特性。用高压纸电泳和 Доскочилова 的 8 个溶剂系统进行纸层析<sup>[18]</sup>，初步检测抗生素的酸碱性和溶解性。由图 1 和图 2 的结果可见，

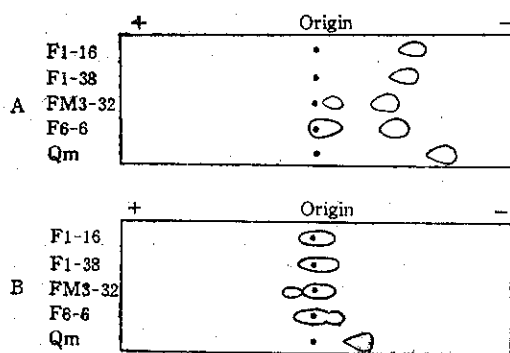


图 1 抗生素的纸电泳图谱

Fig. 1 Paper electrophoretogram of antibiotics  
Voltage: 700V

Medium: A. acetate buffer (0.05mol/L, pH3.6)

B. boric acid buffer (0.05mol/L, pH8.6)

Biography Indicator: *B. subtilis* AS1.140

F1-16、F1-38和FM3-32的抗生素和两亲株的抗生素一样，为碱性水溶性抗生素。F6-6的抗生素则与亲株很不相同，活性有二部分：一部分具酸碱指示剂特性，即遇酸变红、在酸性条件下溶于丁正醇等有机溶剂，遇碱变蓝，并从有机相分出而进入水相，推测可能为大环内酯类或其他大

分子有机化合物抗生素<sup>[1,8]</sup>；另一部分在紫外线下呈蓝色荧光，但在0.1mol/L HCl中的紫外吸收图谱呈末端吸收（图3）。F1-16、F1-38和FM3-32的抗生素在274nm处有一个小的吸收峰，274nm的吸收峰是庆丰霉素的特征吸收峰，因为庆丰霉素分子内有胞嘧啶的结构，推测F1-16、F1-38和FM3-32的抗生素虽然和庆丰霉素的性质不尽相同，但可能在它们的分子中有类似胞嘧啶核苷的结构。它们的峰位低可能与抗生素含量低有关。表5的结果表明，这4个重组子产生的抗生素均为广谱抗生素，而FM3-32的抗生素的抗菌范围则和庆丰霉素相同。

以上的结果证明，用原生质体融合的方法获得的部分单倍体重组子，不仅能在42℃或更高的温度生活，且能在较高的温度发酵产生抗生素，这为将低温型工业生产菌株改良为耐温型，提供一点参考。

从几个耐温型重组子中，我们没有探测到庆丰霉素的产生菌，但却有一些菌株产生性质各不相同的抗菌物质，这是二亲

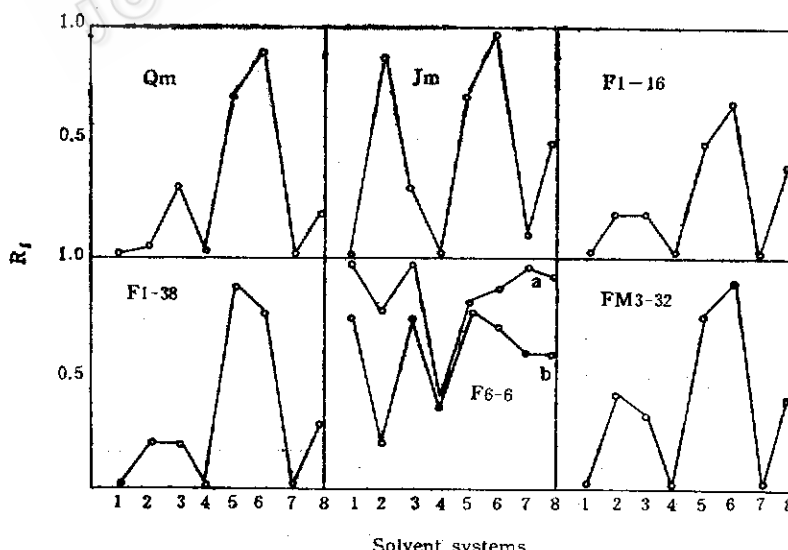


图 2 抗生素的纸层析图谱

Fig. 2 Paper chromatogram of antibiotics

Qm: 庆丰霉素 Qingfengmycin; Jm: 并冈霉素 Jinggangmycin

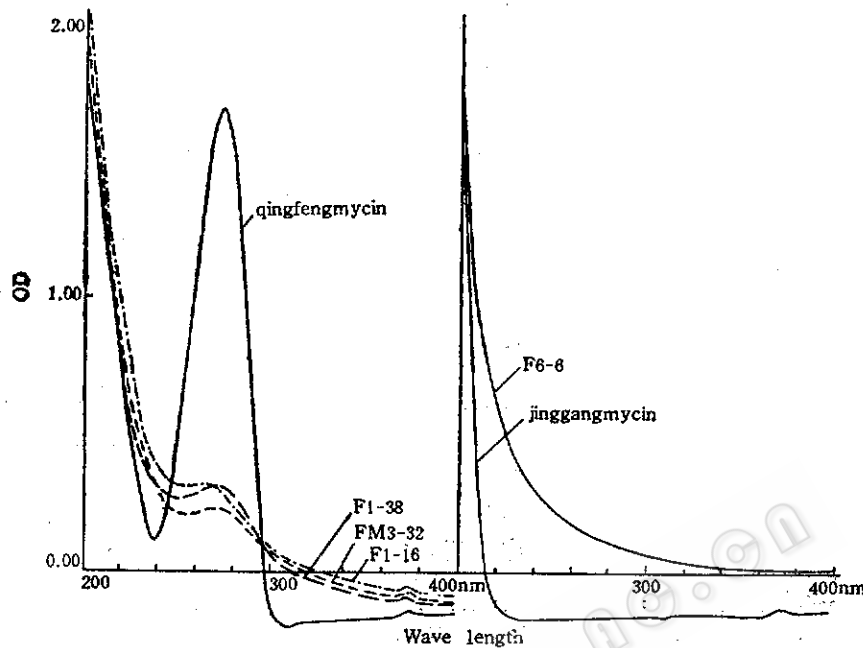


图3 抗生素在 0.1mol/L HCl 中的紫外吸收谱  
Fig. 3 UV spectrum of antibiotics in 0.1mol/L HCl

表5 亲株和重组子的抗菌谱  
Table 5 Antimicrobial spectrum of parents and recombinants

试验菌株 Test strains	F1-16	F1-38	FM3-32	F6-6	Qm	Jm
枯草杆菌 <i>B. subtilis</i>	+	+	+	+	+	-
金黄色葡萄球菌 <i>S. aureus</i>	+	+	+	+	+	-
八叠球菌 <i>S. lutea</i>	+	+	+	+	+	-
大肠杆菌 <i>E. coli</i>	+	+	+	-	+	-
水稻纹枯病菌 <i>P. sasakii</i>	+	+	+	-	+	+
白色念球菌 <i>C. albicans</i>	-	-	+	+	+	-
酵母 <i>S. sake</i>	+	-	+	+	+	-

“+”有作用 Action; “-”无作用 No Action

株基因组通过遗传重组的必然结果; 我们还来不及鉴定这些抗生素所有的实际应用价值, 但其中如 F6-6 这样的菌株, 吸引

我们对它的产物作进一步探索的兴趣。

#### (四) 重组子的分类和命名

对重组子的分类, 现在还没有确定的

准则，一般只是给它一个编号，以此识别而已。我们观察了本文的几株耐温型种间重组子的培养特征，按照 Waksman、**Красильников, Гоузе** 及阎逊初等对放线菌分类系统作为基本准则，根据它们的形态特征与培养特征（结果从略），对它们的分类学地位作了初步的探讨。

F1-16、F1-38和FM3-32菌株，虽然它们的孢子、气生菌丝的形态和基丝颜色及可溶性色素发生了一些变化，常常并有亲株的特征而介于中间地位；但在一些固体培养基上生长时，它们的孢子丝自溶，产生明显的吸水斑，这个重要特征表明它们

继承了亲株\*75的吸水特征，是吸水链霉菌和庆丰链霉菌的后代，应属于吸水链霉菌，因此被命名为吸水链霉菌并-庆融合变种 (*Streptomyces hygroscopicus* var. *jing-qingfusagensis*)。

F6-6 菌株，虽然它的孢子形态椭圆，表面光滑，类似于亲株\*75，但它却有灰色孢子堆，产生抗细菌抗生素，基内菌丝浅黄色，应属于金色链霉菌类群，是庆丰链霉菌的后代，应属于庆丰链霉菌，因此被命名为庆丰链霉菌庆-并融合变种 (*Streptomyces qingfengmyceticus* var. *qing-jingfusagensis*)。

### 参 考 文 献

- [1] Hopwood, D. A. et al.: *Nature*, 268: 171, 1977.
- [2] Ikeda, H. et al.: *J. Antibiot.*, 36: 283, 1983.
- [3] Valin, C. et al.: *Biotechnol. Lett.*, 8(5): 343, 1985.
- [4] Seiya, O. et al.: *J. Gen. Appl. Microbiol.*, 31(2): 187, 1985.
- [5] Ikeda, H. et al.: *J. Antibiot.*, 37: 1224, 1984.
- [6] 郑幼霞等：生物工程学报，1(3): 32, 1985.
- [7] 朱建伟等：医药工业，18(3): 108, 1987.
- [8] Yamashita, F. et al.: *J. Antibiot.*, 38: 58, 1985.
- [9] Hotta, K. et al.: *J. Antibiot.*, 38: 64, 1985.
- [10] Gomi, S. et al.: *J. Antibiot.*, 37: 1491, 1984.
- [11] 大岛泰郎著：好热性细菌，日本东京大学出版会，东京，p. 52, 1978.
- [12] Oshima, M. et al.: *Biochemistry of Thermophily*, Edited by Friedman, S.M., Academic Press, INC. New York, p. 233, 1978.
- [13] 郑幼霞等：遗传学报，7(2): 111, 1980.
- [14] Hopwood, D.A. et al.: *Genetic Manipulation of Streptomyces: A Laboratory Manual*, The John Innes Foundation, Norwich, p245, 1985.
- [15] 上海植物生理所微生物室农抗组：微生物学报，15(2): 101, 1975.
- [16] 郑幼霞等：遗传学报，9(3): 172, 1982.
- [17] Hopwood, D. A. et al.: *MGG.*, 162: 307, 1978.
- [18] 张瑞等：全国第三次抗菌素会议论文集（第一集），宣村，张为申主编，科学出版社，北京，p. 264, 1965.

# INTERSPECIFIC PROTOPLAST FUSION IN STREPTOMYCES —SELECTION OF THERMOTOLERANT ANTIBIOTIC- PRODUCING RECOMBINANT

Qi Haiyan Zheng Youxia

(Shanghai Institute of Plant Physiology, Academia Sinica, Shanghai)

The thermotolerant fusants were obtained after interspecific protoplast fusion between *S. qingfengmyceticus* M15S ( $SM^+$  stopping growth at 39°C, producing qingfengmycin with wide antimicrobial spectrum) and *S. hygroscopicus* var. *jinggangensis* \*75 ( $SM^+$ , growth-well at 42°C, producing jinggangmycin of antifungus) by directly selecting from the regeneration plates containing  $SM$  100 $\mu$ g/ml and incubated at 42°C. The fusion frequency was about  $10^{-5}$ – $10^{-4}$ . The stable thermotolerant recombinants with antimicrobial activity were obtained. The properties of their products were quite different from that of parents (Qm, Jm). The antimicrobial substance produced by recombinant F6-6 consists of two parts: one has acid-alkalin indicator property; the other is fluorescent under UV light. The products of F1-16, F1-38 and FM3-32 with antimicrobial activity show a peak at 274nm wave length; it suggests that there may be a cytosine moiety in their molecules.

## Key words

Protoplast fusion; thermotorelant; *Streptomyces*